

УДК 551.554:551.558

ГЕОФИЗИКА

С. С. ЗИЛИТИНКЕВИЧ, член-корреспондент АН СССР А. С. МОНИН

## ТЕОРИЯ ПОДОБИЯ ДЛЯ ПОГРАНИЧНОГО СЛОЯ АТМОСФЕРЫ

Для описания атмосферного пограничного слоя (а.п.с.) в математических моделях атмосферы, используемых в задачах прогноза погоды и теории климата, важно уметь параметризовать а.п.с., т. е. выражать его характеристики через внешние параметры. По аналогии с описанием в технической гидродинамике течений в трубах, каналах и пограничных слоях примем следующую гипотезу подобия: характеристики а.п.с. полностью определяются скоростью ветра  $U$  на верхней границе слоя, его толщиной  $h$ , разностью  $\theta_h - \theta_0$  потенциальных температур на верхней и нижней границах слоя (и аналогичной разностью значений удельной влажности воздуха), шероховатостью подстилающей поверхности  $z_0$  и параметром плавучести  $\beta = g/T$  ( $g$  — ускорение силы тяжести,  $T$  — средняя температура слоя). Этими внешними параметрами будут определяться, в частности, скорость трения  $u_*$  и турбулентный поток тепла  $H$  на подстилающей поверхности, а потому также масштаб флюктуаций температуры  $T_* = -H/(k c_p \rho u_*)$  ( $c_p$  и  $\rho$  — удельная теплоемкость и плотность воздуха,  $k$  — числовая постоянная Кармана), толщина  $L = -c_p \rho u_*^3 / (\kappa \beta H)$  приземного слоя воздуха, угол  $\alpha$  поворота ветра в а.п.с. и параметр  $\mu = h/L$  термической стратификации а.п.с.

Учитывая специфические особенности а.п.с. (создаваемое силой Кориолиса вращение ветра с высотой  $z$  и существенное влияние стратификации), аналогичные технической гидродинамике законы дефекта скорости и температуры в а.п.с. можно записать в виде

$$\frac{U \cos \alpha - u(z)}{u_*} = \psi_u \left( \frac{z}{h}, \mu \right), \quad \frac{U \sin \alpha - v(z)}{u_*} = \psi_v \left( \frac{z}{h}, \mu \right), \quad (1)$$

$$\frac{\theta_h - \theta(z)}{T_*} = \psi_\theta \left( \frac{z}{h}, \mu \right),$$

где  $u$ ,  $v$  — декартовы компоненты скорости ветра, ось абсцисс выбирается по направлению приземного ветра (аналогичный закон дефекта для влажности воздуха мы для краткости не выписываем).

Комбинируя законы дефекта (1) с обычными логарифмическими пристеночными законами для скорости и температуры, как это изложено в работах <sup>(1, 2)</sup>, для коэффициентов трения  $\xi = u_*/U$  и теплопередачи  $\eta = -T_*/(\delta \theta)$  и угла  $\alpha$  получаем следующие формулы (законы сопротивления и теплообмена):

$$\frac{1}{\xi} = \frac{1}{\kappa} \left\{ \left[ \ln \frac{h}{z_0} - B(\mu) \right]^2 + A^2(\mu) \right\}^{1/2}, \quad (2)$$

$$\sin \alpha = -\frac{\xi}{\kappa} A(\mu), \quad \frac{1}{\eta} = \frac{1}{\alpha_0} \left[ \ln \frac{h}{z_0} - C(\mu) \right],$$

где  $1/\alpha_0$  — числовая постоянная (пристеночное турбулентное число Прандтля),  $A$ ,  $B$  и  $C$  — универсальные функции от  $\mu$ . Значение  $\mu$  может

быть найдено по  $h/z_0$  и внешнему числу Ричардсона

$$S = \frac{\beta h \delta \theta}{U^2} = \frac{\mu}{\alpha_0} \left[ \ln \frac{h}{z_0} - C(\mu) \right] \left\{ \left[ \ln \frac{h}{z_0} - B(\mu) \right]^2 + A^2(\mu) \right\}^{-1}. \quad (3)$$

Применим эту теорию подобия прежде всего к стационарному и горизонтально-однородному а.п.с. (называемому экмановским, или э.п.с.), толщина которого определяется совместным действием силы Кориолиса и

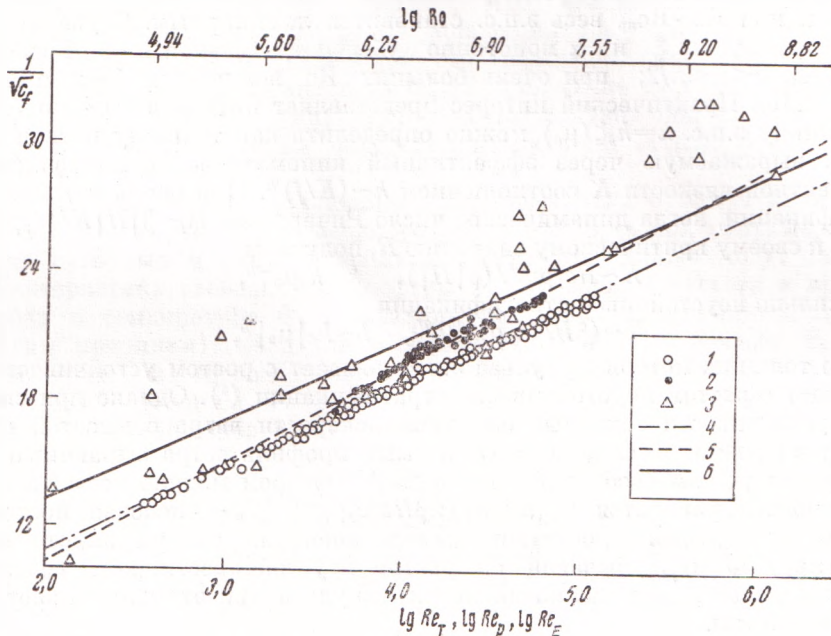


Рис. 1. Сравнение законов сопротивления для различных турбулентных течений.  $c_f$  — коэффициент сопротивления; нижняя шкала — числа Рейнольдса  $Re_r = ru_* / (\kappa v)$ ,  $Re_p = \delta u_* / (\kappa' v)$  и  $Re_E = h_0 u_* / (\kappa v)$  для течений соответственно в трубе (1, 4) в пограничном слое на пластинке (2, 5) и в атмосферном пограничном слое (3, 6); 1—3 — эмпирические, 4—6 — теоретические значения; верхняя шкала — числа Россби  $Ro$ ;  $r$  — радиус трубы,  $\delta$  — толщина пограничного слоя,  $\kappa'$  — безразмерная константа, близкая к  $\kappa$ .

турбулентной вязкости и может быть представлена в виде  $h = h_0 \xi (\mu_0)$ , где  $h_0 = \kappa u_* / f$  — толщина нейтрально-стратифицированного э.п.с. ( $f$  — параметр Кориолиса), а  $\mu_0 = h_0 / L$ . Выделим в формулах (2) вместо  $h/z_0$  величину  $h/(\kappa \xi z_0) = \xi Ro$ , где  $Ro = U / (f z_0)$  — число Россби, и будем рассматривать  $A$ ,  $B - \ln \kappa \xi$  и  $C - \ln \kappa \xi$ , как функции от  $\mu_0$ , которые обозначим  $A(\mu_0)$ ,  $B(\mu_0)$  и  $C(\mu_0)$ . Сводка их эмпирических оценок была приведена в книге (1), после чего появились более детальные данные Кларка (3). Модифицированные указанным образом формулы (2) определяют зависимость  $\xi$ ,  $\eta$  и  $\alpha$  от  $Ro$  и  $\mu_0$ . Вместо (3) здесь удобнее использовать внешний параметр стратификации

$$S_0 = \frac{\beta \delta \theta}{f U} = \frac{\mu_0 \xi (Ro, \mu_0)}{\kappa^3 \eta (Ro, \mu_0)}. \quad (4)$$

Введя обычный коэффициент сопротивления  $c_f = 2(u_*/U)^2$ , внутреннее число Рейнольдса  $Re_b = h_0 u_* / \kappa v$  и число Рейнольдса шероховатости  $m = z_0 u_* / v$  ( $v$  — кинематический коэффициент молекулярной вязкости), первую формулу (2) можно записать в виде

$$c_f^{-1/2} = \frac{1}{\kappa \cdot 2^{1/2}} [(\ln Re_E - \ln m - B)^2 + A^2]^{1/2}, \quad (5)$$

аналогичном закону сопротивления для пограничных слоев в технической гидродинамике. Эмпирические данные о функциях  $c_f(Re)$  для круглых труб и пограничного слоя у плоской пластинки с гладкими стенками и для э.п.с. приведены на рис. 1 вместе с соответствующими теоретическими кривыми (для э.п.с. — при  $A=4$ ;  $B=0,5$ ;  $m=0,1$ ); рисунок демонстрирует большое сходство законов сопротивления у течений указанных трех типов. Закон сопротивления (5) обеспечивает неотрицательность  $c_f(Ro, \mu_0)$  лишь при  $Ro > Ro_{kp} = (A/\kappa)e^B$  (при  $\mu_0=0$  получается  $Ro_{kp} \sim 10^2$ ): с уменьшением  $Ro$  толщина э.п.с. убывает, а толщина  $v/u$  вязкого подслоя растет, и при  $Ro \sim Ro_{kp}$  весь э.п.с. становится ламинарным. С увеличением  $Ro$  величины  $\xi$  и  $\alpha$  монотонно убывают, оставаясь в пределах  $0 < \xi < \kappa/A$ ,  $0 < \alpha < \pi/2$ ; при очень больших  $Ro$  получается  $\xi \sim \kappa/\ln Ro$  и  $\alpha \sim -A/\ln Ro$ . Практический интерес представляет интервал  $10^4 < Ro < 10^{12}$ .

Толщину э.п.с.  $h=h_0\xi(\mu_0)$  можно определить как толщину потери импульса, выражаемую через эффективный кинематический коэффициент турбулентной вязкости  $K$  соотношением  $h \sim (K/f)^{1/2}$ . При очень устойчивой стратификации, когда динамическое число Ричардсона  $R_i \sim \beta|H|K/(c_p \rho u_*^4)$  близко к своему критическому значению  $R_i$ , получаем

$$K \sim R c_p u_*^4 / (\beta|H|), \quad h \sim h_0 \mu_0^{-1/2}, \quad (6)$$

а при сильно неустойчивой стратификации

$$K \sim (\beta H / (c_p \rho))^{1/2} h^{4/5}, \quad h \sim h_0 |\mu_0|^{1/2}, \quad (7)$$

так что толщина потери импульса э.п.с. убывает с ростом устойчивости и возрастает с ростом неустойчивости стратификации (4). Однако при сильной неустойчивости основные изменения скорости ветра с высотой происходят в приземном слое воздуха, а выше профиль ветра выравнивается и наступает режим свободной конвекции, в котором модуль дефекта вектора скорости равняется  $C_u(u_*^2/\kappa)(\kappa \beta Hz / c_p \rho)^{-1/2}$  ( $C_u$  — числовая постоянная), и этот дефект достигает малого значения  $\epsilon u_*$  на высоте  $h_e = (C_u / (\kappa \epsilon))^3 h_0 / |\mu_0|$ , убывающей с ростом неустойчивости, хотя создаваемый конвекцией вертикальный поток импульса при этом проникает на большие высоты.

Рассмотрим асимптотическое поведение входящих в законы сопротивления и теплообмена функций  $A(\mu_0)$ ,  $B(\mu_0)$  и  $C(\mu_0)$  в слабо неустойчиво стратифицированном э.п.с. с верхней границей в изученном С. С. Зилинговским (5) слое конвекции со сдвигом скорости  $0,1|L| < z < n|L|$ , где  $n$  составляет несколько единиц (при этом  $|\mu_0| \leq 10$ ), в котором горизонтальные турбулентные флюктуации скорости получают энергию от среднего течения, а вертикальные — из потенциальной энергии неустойчивой стратификации посредством работы архимедовых сил. В этом слое горизонтальным и вертикальным длинам имеет смысл приписывать разные размерности  $L_x$  и  $L_z$ , и тогда из определяющих структуру э.п.с. параметров  $u_*$ ,  $H/(c_p \rho)$ ,  $\beta$  и  $f$  невозможно составить никакой безразмерной комбинации и можно составить только одну комбинацию  $h_1 = (\beta H / (c_p \rho f^3))^{1/2}$  размерности  $L_z$  (при этом  $\xi(\mu_0) \sim |\mu_0|^{1/2}$ , как и в (7)). Законы дефекта (1) здесь принимают вид

$$U \cos \alpha - u = \frac{u_*^2}{f h_1} \Psi_u \left( \frac{z}{h_1} \right), \quad U \sin \alpha - v = \frac{u_*^2}{f h_1} \Psi_v \left( \frac{z}{h_1} \right), \quad (8)$$

$$\theta_h - \theta = \frac{f^2 h_1}{\beta} \Psi_\theta \left( \frac{z}{h_1} \right).$$

Комбинируя их известными пристеночными законами для неустойчивой стратификации

$$u(z) = \frac{u_*}{\kappa} \left[ a_u + C_u \left( \frac{z}{L} \right)^{-1/2} - \ln \frac{z_0}{|L|} \right], \quad v(z) = 0, \quad (9)$$

$$\theta(z) - \theta_0 = T_* \left[ a_\theta + C_\theta \left( \frac{z}{L} \right)^{-1/2} - \frac{1}{\alpha_0} \ln \frac{z_0}{|L|} \right]$$

при  $a_u=1$  и  $\alpha_0 a_\theta=0,1$ , неплохо согласующимися с результатами измерений Канзасской экспедиции Бюсингера и др. (6), получаем законы сопротивления и теплообмена с промежуточными асимптотиками

$$A \sim a_1 |\mu_0|^{-1/2}, \quad B \sim \ln \frac{|\mu_0|}{\kappa} - b_1 |\mu_0|^{-1/2} - a_u, \quad C \sim \ln \frac{|\mu_0|}{\kappa} - c_1 |\mu_0|^{-1/2} - \alpha_0 a_\theta, \quad (10)$$

где  $a_1, b_1, c_1$  — числовые постоянные. Если э.п.с. стратифицирован сильно неустойчиво ( $|\mu_0| > 10$ ), то, опуская в (10) слагаемые порядка  $|\mu_0|^{-1/2}$ , получаем асимптотику свободной конвекции (не зависящую от способа определения  $h$ ). При устойчивой стратификации способ определения  $h$  будет сильно влиять на значение  $\theta_h$ , так как выше э.п.с. градиент температуры увеличивается (аналогично «слою скачка» под э.п.с. в океане). Полуэмпирическая теория определения функций  $A(\mu_0)$ ,  $B(\mu_0)$  и  $C(\mu_0)$  изложена в книге (1).

Характеристики подстилающей поверхности  $z_0$  и  $\theta_0$  могут меняться по горизонтали вследствие ее неоднородности и во времени, например, вследствие суточных и синоптических колебаний  $\theta_0$ ; также могут меняться характеристики свободной атмосферы — направление, густота и кривизна изобар и температура  $\theta_h$  (последняя как из-за изменений  $h$ , так и по другим причинам). Сведения о вариациях  $U$ ,  $\theta_0$ ,  $z_0$  и отчасти,  $\theta_h$  можно заимствовать из географической и синоптической информации, а для определения толщины  $h$  нестационарных и горизонтально-неоднородных а.п.с. можно использовать уравнение

$$\partial h / \partial t + U (\cos \alpha \partial h / \partial x + \sin \alpha \partial h / \partial y) = w, \quad (11)$$

где  $w$  — разность скорости вертикальных движений верхней границы а.п.с. и скорости вовлечения или вытекания воздуха, которую можно пытаться определять полуэмпирическими методами (7), или например, как типичную величину турбулентных флуктуаций вертикальной скорости  $w \sim K/h$  на уровне  $h$ . Так, для нестационарного, но горизонтально-однородного а.п.с. с устойчивой или неустойчивой стратификацией, определяя  $K$  по формуле (6) или (7), получаем соответственно

$$h^2 - h_s^2 \sim \frac{R c_p \rho}{\beta} \int_{t_s}^t \frac{u_*^4}{|H|} dt, \quad h^{1/2} - h_s^{1/2} \sim \left( \frac{\beta}{c_p \rho} \right)^{1/3} \int_{t_s}^t H^{1/4} dt. \quad (12)$$

В обоих случаях за время  $t - t_s \sim f^{-1}$  правая часть (12) становится по порядку величины равной толщине э.п.с. (6) или (7), т. е. устанавливается режим стационарного э.п.с. Поскольку это время установления сравнимо с полупериодом суточных колебаний, можно ожидать их отклонения от квазистационарности, т. е. некоторого гистерезиса в суточных колебаниях внутренних параметров а.п.с. (который и был обнаружен в полуэмпирическом расчете Б. Г. Вагера и С. С. Зилитинкевича (8)). Аналогичные (12) результаты получаются для зависимости толщины стационарного, но горизонтально-неоднородного а.п.с. от расстояния по направлению ветра в свободной атмосфере.

Институт океанологии им. П. П. Ширшова  
Академии наук ССР  
Москва

Поступило  
27 XI 1973

#### ЦИТИРОВАННАЯ ЛИТЕРАТУРА

- <sup>1</sup> С. С. Зилитинкевич, Динамика пограничного слоя атмосферы, 1970. <sup>2</sup> S. S. Zilitinkevich, J. W. Deardorff, J. Atmosph. Sci., v. 31 (1974). <sup>3</sup> R. H. Clarke, Quart. J. Roy. Meteorol. Soc., v. 96, № 407, 91 (1970). <sup>4</sup> С. С. Зилитинкевич, Физ. атмосферы и океана, т. 8, № 10, 1086 (1972). <sup>5</sup> С. С. Зилитинкевич, Там же, т. 8, № 12, 1263 (1971). <sup>6</sup> J. A. Businger, J. C. Wyngaard et al., J. Atmosph. Sci., v. 28, 481 (1971). <sup>7</sup> J. W. Deardorff, Monthly Weather Rev., v. 100, № 2, 93 (1972). <sup>8</sup> Б. Т. Вагер, С. С. Зилитинкевич, Метеорология и гидрология, № 7, 3 (1968).